

## بهینه سازی توپولوژی براساس قابلیت اعتماد در سازه پل با استفاده از روش های قابلیت اعتماد مرتبه اول و دوم

میثم جوهری<sup>\*</sup>، بهروز احمدی ندوشن<sup>۲</sup>

۱- کارشناس ارشد مهندسی سازه، دانشکده مهندسی عمران، پردیس فنی و مهندسی، دانشگاه یزد، یزد، ایران

۲- دانشیار، دانشکده مهندسی عمران، پردیس فنی و مهندسی، دانشگاه یزد، یزد، ایران

### چکیده

بهینه سازی توپولوژی براساس قابلیت اعتماد، منجر به یک توپولوژی بهینه با اراضی قیودی که شامل عدم قطعیت متغیرهاست، می‌گردد. به دلیل عدم قطعیت‌های ذاتی از قبیل بارگذاری خارجی، خواص مصالح و کیفیت ساخت، نمونه های اولیه و اعضا تولید شده ممکن است عملکردهای مورد نیاز را ارضا نکنند. در بهینه سازی توپولوژی براساس قابلیت اعتماد، هر کدام از این پارامترهای عدم قطعیت به عنوان متغیر تصادفی در نظر گرفته می‌شود و قیود قابلیت اعتماد، به منظور حاصل شدن سازه قابل اعتمادتر در فرمول بنده مسئله بهینه سازی توپولوژی استفاده می‌شود. در این مقاله، به منظور به دست آوردن توپولوژی قابل اعتماد در دو سازه پل، بهینه سازی توپولوژی براساس قابلیت اعتماد از روش ریز ساختارهای ایزوتروپیک جامد با جریمه، استفاده شده است. روش‌های قابلیت اعتماد مرتبه اول و دوم به عنوان روش‌های تحلیل قابلیت اعتماد، به منظور در نظر گرفتن پارامترهای عدم قطعیت مربوط به بارگذاری، مدول یانگ و ضخامت استفاده می‌شود. مشخص شد که در توپولوژی‌های بهینه به دست آمده به وسیله بهینه سازی توپولوژی براساس قابلیت اعتماد، مقادیر نرمی بالاتر از مقادیر متناظر به دست آمده از روش بهینه سازی توپولوژی قطعی می‌باشد و با افزایش تعداد پارامترهای عدم قطعیت، نرمی سازه بیشتر می‌گردد.

**کلمات کلیدی:** بهینه سازی توپولوژی، بهینه سازی توپولوژی براساس قابلیت اعتماد، تحلیل قابلیت اعتماد، روش قابلیت اعتماد مرتبه دوم.

\*نویسنده مسئول: میثم جوهری

پست الکترونیکی: meysam2135@yahoo.com

**۱- مقدمه**

بهینه سازی سازه را می‌توان یافتن چیدمانی جهت تحمل و انتقال بار به بهترین شکل ممکن تعریف کرد [۱]. بهینه سازی توپولوژی، یکی از شاخه‌های بهینه سازی سازه‌ای است که به تعیین بهترین چیدمان سازه می‌پردازد [۲]. در مسائل بهینه سازی سازه‌ها، شاخه بهینه سازی توپولوژی عمومی‌ترین شاخه در این زمینه به حساب می‌آید زیرا بسیاری از پارامترها از جمله ارتباط بین المان‌های تشکیل دهنده سازه در ابتدای حل مجهولند و در روند بهینه سازی تعیین می‌گردند [۳].

از طرفی، قابلیت اعتماد سازه‌ها را می‌توان توانایی سازه‌ها در برآورده کردن الزامات طراحی‌شان برای طول عمر معین شده طراحی تعريف نمود [۴]. ادغام روش‌های محاسبه قابلیت اعتماد در بهینه سازی توپولوژی، نوع جدیدی از بهینه سازی را ارائه می‌دهد که بهینه سازی توپولوژی براساس قابلیت اعتماد (RBTO) نامیده می‌شود [۵]. بهینه سازی توپولوژی براساس قابلیت اعتماد، بهینه سازی توپولوژی براساس قیود احتمالاتی است که به بهترین برآیند میان هزینه و ایمنی می‌رسد [۶].

در زمینه RBTO تا کنون مطالعات مختلفی انجام گرفته است که از جمله‌ی آن‌ها می‌توان به مقاله‌های کارماندا و همکاران [۵]، یانگ و همکاران [۷]، کیم و همکاران [۶]، کیم و همکاران [۸]، یو و همکاران [۹] و لیو و همکاران [۱۰] اشاره کرد. تا به امروز به طور معمول، پژوهشگران برای سادگی و اجتناب از محاسبات پیچیده‌تر، از روش قابلیت اعتماد مرتبه اول، برای تحلیل قابلیت اعتماد در بهینه سازی توپولوژی براساس قابلیت اعتماد استفاده کرده‌اند. اما در این مقاله از روش قابلیت اعتماد مرتبه دوم نیز، که دقیق‌تر از روش مرتبه اول می‌باشد، استفاده می‌شود.

در این مقاله ابتدا تفاوت بهینه سازی توپولوژی براساس قابلیت اعتماد با بهینه سازی توپولوژی قطعی و سپس فرمول بندی و مراحل مختلف انجام آن بیان می‌گردد. در ادامه نیز دو مثال از سازه پل جهت بررسی عددی مدل بهینه سازی توپولوژی براساس قابلیت اعتماد و اهمیت آن ارائه می‌شود.

**۲- تفاوت بهینه سازی توپولوژی قطعی و بهینه سازی توپولوژی براساس قابلیت اعتماد**

به دلیل عدم قطعیت‌های ذاتی از قبیل بارگذاری خارجی، خواص مصالح و کیفیت ساخت، ممکن است نمونه‌های اولیه و محصولات تولید شده عملکردهای مورد نیاز را ارضا نکنند. به منظور کم کردن امکان تنزل عملکرد در فرآیند تولید، این عدم قطعیت‌ها باید در طول فرآیند بهینه سازی طراحی توپولوژی در نظر گرفته شود [۸]. روش‌های بهینه سازی توپولوژی قطعی نمی‌توانند این متغیرهای تصادفی را به حساب بیاورند [۹] و طرح بهینه بدون در نظر گرفتن اثرات عدم قطعیت‌های هندسه، خواص مصالح و بارگذاری تعیین می‌گردد [۵]. اما در بهینه سازی توپولوژی براساس قابلیت اعتماد، هر کدام از این پارامترهای عدم قطعیت را می‌توان به عنوان متغیر تصادفی انتخاب و قیود قابلیت اعتماد را در یک فرمول بندی بهینه سازی اعمال کرد، در نتیجه سازه به دست آمده از این روش قابل اعتمادتر و ایمن‌تر می‌باشد.

توابع هدف در مسائل بهینه سازی توپولوژی قطعی و بهینه سازی توپولوژی براساس قابلیت اعتماد یکسان است و معمولاً به صورت کمینه کردن نرمی سازه (افزایش سختی سازه)، حجم سازه، هزینه سازه و ... مطرح می‌شوند. اما قیود این دو نوع مسئله با هم متفاوت هستند؛ در بهینه سازی توپولوژی براساس قابلیت اعتماد، علاوه بر قیود بهینه سازی توپولوژی قطعی که معمولاً به صورت قیود حداقل تنش، حداقل جابجایی، برآورده شدن معادلات تعادل و ... مطرح می‌شود، قیود قابلیت اعتماد هم در نظر گرفته می‌شوند.

**۳- روش بهینه سازی توپولوژی براساس قابلیت اعتماد**

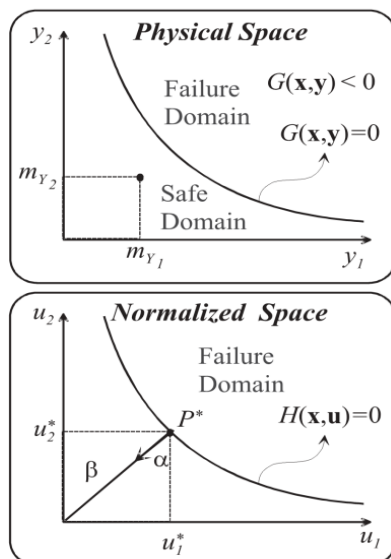
در بهینه سازی توپولوژی براساس قابلیت اعتماد، اولاً سازه باید قیود قابلیت اعتماد را برآورده سازد، یعنی قید ایمنی سازه اقناع شود و ثانیاً باید قسمت‌های غیر بحرانی سازه (مانند نواحی کم تنش) برای کاهش وزن سازه بررسی شوند. در ادامه روش بهینه سازی توپولوژی براساس قابلیت اعتماد تشریح می‌گردد.

## ۱-۳- متغیرها در RBTO

در مدل RBTO سه نوع متغیر تعریف و به کار برده می‌شوند:

- ۱- متغیرهای طراحی توبولوژی قطعی  $x$ ، چگالی مواد در هر المان محدود به صورت متغیرهای قطعی در نظر گرفته می‌شوند.
- ۲- متغیرهای تصادفی  $y$ ، که نشان دهنده عدم قطعیت‌های موجود هستند و به کمک توزیع‌های احتمالاتی تعیین می‌شوند. به عنوان مثال، این متغیرها می‌توانند ابعاد هندسی، مشخصات مواد و یا بارگذاری خارجی اعمال شده باشند.
- ۳- متغیرهای نرمالیزه  $u$ ، که به متغیرهای تصادفی  $y$  و مقادیر میانگین و انحراف استاندارد آن‌ها مربوط هستند.

برای ارزیابی احتمال شکست، بر اساس سناریوی شکست انتخاب شده، یک تابع حالت حدی  $G(x, y)$  تعریف می‌گردد و مطابق شکل ۱، حد بین حالت شکست  $0 < G(x, y) < 0$  و حالت ایمنی  $G(x, y) = 0$  به عنوان سطح حالت حدی  $G(x, y) = 0$  در نظر گرفته می‌شود.



شکل ۱: فضاهای فیزیکی و نرمال؛ شکل بالا: فضای فیزیکی، شکل پایین: فضای نرمال [۵].

تبديل از متغیرهای فیزیکی  $y$  به متغیرهای نرمالیزه  $u$ ، به وسیله رابطه زیر امکان پذیر است:

$$u = T(x, y) \quad , \quad y = T^{-1}(x, u) \quad (1)$$

که در آن اپراتور  $T$  تبدیل احتمالاتی نامیده می‌شود.

در این فضای استاندارد، تابع حالت حدی به صورت شکل زیر می‌باشد:

$$H(x, u) \equiv G(x, y) = 0 \quad (2)$$

مطابق شکل ۱، برای یک سناریوی شکست، شاخص قابلیت اعتماد  $\beta$  با بردار نرمال  $u$ ، به وسیلهٔ حل یک مسئله بهینه سازی مقید، ارزیابی شده است. محاسبه شاخص قابلیت اعتماد، که به صورت حداقل فاصله مبدأ از نقطه طراحی  $P^*$  می‌باشد؛ به صورت رابطه زیر می‌باشد:

$$\beta = \min \left( \sqrt{u_1^2 + \dots + u_j^2 + \dots + u_l^2} \right) \quad \text{Subject to} \quad G \leq 0 \quad (3)$$

که در آن

$$u_j = \frac{y_j - m_{y_j}}{\sigma_{y_j}} \quad (4)$$

که  $y_j$ ،  $m_{y_j}$  امین متغیر تصادفی با مقدار میانگین  $m_{y_j}$  و انحراف استاندارد  $\sigma_{y_j}$  می‌باشد.  $G$  تابع حالت حدی و  $J$  تعداد متغیرهای تصادفی انتخاب شده است [۵].

### ۲-۳- فرمول بندی مسئله RBTO با هدف کمینه کردن نرمی

همان طور که مشخص است، با توجه به چگونگی در نظرگرفتن نوع تابع هدف، فرمول بندی مسئله بهینه سازی متفاوت خواهد بود. مسئله بهینه سازی توپولوژی براساس قابلیت اعتماد با هدف کمینه کردن نرمی (بیشینه سازی سختی)، شامل قیدهای یک کران بالای داده شده روی حجمی از مواد، برآورده شدن معادله تعادل و قیود قابلیت اعتماد می‌باشد. چگالی مواد استفاده شده در هرالمان محدود به صورت متغیرهای طراحی پیوسته در نظر گرفته می‌شود. بنابراین مسئله بهینه سازی توپولوژی قطعی با استفاده از روش ریز ساختارهای ایزوتروپیک جامد با جریمه، به شکل زیر نوشته می‌شود:

$$\begin{aligned} \min \quad & C(x) = q^T K q = \sum_{e=1}^N (x_e)^P q_e^T k_0 q_e \\ \text{subject to} \quad & \frac{V(x)}{V_0} \leq f \\ & Kq = F \\ & 0 < x_{min} \leq x \leq 1 \end{aligned} \quad (5)$$

با اعمال قیود قابلیت اعتماد، مسئله بهینه سازی توپولوژی براساس قابلیت اعتماد را می‌توان به صورت زیر فرمول بندی کرد:

$$\begin{aligned} \min \quad & C(x) = q^T K q = \sum_{e=1}^N (x_e)^P q_e^T k_0 q_e \\ \text{subject to} \quad & \beta_{(u)} \geq \beta_t \\ & K_{(x,y,u)} \cdot q_{(x,y,u)} = F_{(y,u)} \\ & \frac{V_{(x,y,u)}}{V_0} \leq f \\ & 0 < x_{min} \leq x \leq 1 \end{aligned} \quad (6)$$

در روابط بالا،  $C$  مقدار نرمی،  $q$  بردار جابجایی کلی،  $F$  بردار نیرو و  $K$  ماتریس سختی کلی می‌باشند.  $q_e$ ،  $k_0$ ، به ترتیب بردار جابجایی المان  $e$  ام و ماتریس سختی المان ها می‌باشند.  $x$  بردار متغیرهای طراحی،  $x_{min}$  بردار چگالی‌های نسبی مینیمم (غیر صفر به منظور اجتناب از تکینگی)،  $N$  تعداد المان‌های ناحیه طراحی گسسته شده،  $p$  توان جریمه،  $V(x)$  حجم مصالح،  $V_0$  حجم ناحیه طراحی و  $f$  یک کران بالای تعیین شده روی کسر حجم می‌باشند.  $\beta_t$  به ترتیب شاخص قابلیت اعتماد سیستم و شاخص قابلیت اعتماد هدف هستند [۵].

متغیرهای طراحی  $x$  چگالی مواد در هر المان محدود هستند، در حالی که متغیرهای تصادفی  $y$ ، مربوط به پارامترهایی که به عنوان پارامترهای عدم قطعیت در نظر گرفته شده‌اند، می‌باشند. در روابط معادله ۶ میتوان هر یک از پارامترهای مربوط به هندسه، بارگذاری و خواص مصالح و یا همه را به عنوان متغیر تصادفی در نظر گرفت.

### ۳-۳-۳- مراحل بهینه سازی توپولوژی براساس قابلیت اعتماد

محاسبات بهینه سازی توپولوژی براساس قابلیت اعتماد شامل سه مرحله اصلی متوازی: تحلیل حساسیت، محاسبه شاخص قابلیت اعتماد و فرآیند بهینه سازی توپولوژی می‌باشد که هر یک از این مراحل به عنوان یک فرآیند کاملاً مستقل، بررسی می‌شوند [۵]. بهینه سازی توپولوژی براساس قابلیت اعتماد، به صورت یک روش تربیی متشکل از حلقه‌های تکرار می‌باشد.

فرآیند بهینه سازی توپولوژی براساس قابلیت اعتماد به این صورت است که ابتدا یک مجموعه از متغیرها در بردار  $m_y$ ، که بردار متغیرهای میانگین نامیده می‌شود، در نظر گرفته می‌شود. سپس به منظور انتخاب متغیرهای با اهمیت‌تر، حساسیت تابع هدف با توجه به این میانگین‌ها بررسی می‌شود. با توجه به نتایج به دست آمده از تحلیل حساسیت، پارامترهای مؤثرتر انتخاب شده و در بردار متغیرهای تصادفی  $y$  جایگذاری می‌شوند. در مرحله بعد، در فضای نرمال، شاخص قابلیت اعتماد مرتبه اول  $\beta_{FORM}$ ، با اراضی قیود قابلیت اعتماد مربوطه، ارزیابی خواهد شد و  $\beta_{FORM}$  محاسبه شده، به همراه بردار نرمال  $U_{FORM}$  استخراج شده از آن، به منظور محاسبه شاخص قابلیت اعتماد مرتبه دوم  $\beta_{SORM}$ ، به عنوان ورودی در فرآیند قابلیت اعتماد مرتبه دوم استفاده می‌شوند. پس از محاسبات مربوط به روش قابلیت اعتماد مرتبه دوم، شاخص قابلیت اعتماد  $\beta_{SORM}$  محاسبه می‌گردد و در نتیجه آن، بردار نرمال  $U_{SORM}$  به منظور فرموله کردن بردار پارامتر تصادفی  $y$  استفاده خواهد شد که این بردار به عنوان یک ورودی برای فرآیند بهینه‌سازی توپولوژی در فضای استاندارد به کار می‌رود. البته در صورت استفاده از روش قابلیت اعتماد مرتبه اول کافیست بردار نرمال  $U_{FORM}$  به منظور فرموله کردن بردار پارامتر تصادفی  $y$  استفاده شود. در هر حالت، نهایتاً با استفاده از روش ریز ساختارهای ایزوتروپیک جامد با جرمیه، توپولوژی بهینه و قابل اعتماد به دست خواهد آمد.

### ۳-۱-۳- تحلیل حساسیت

به مطالعه تاثیرپذیری متغیرهای خروجی از متغیرهای ورودی یک مدل تحلیل حساسیت گفته می‌شود. به عبارت دیگر، تحلیل حساسیت روشنی برای تغییر در ورودی‌های یک مدل به صورت سازمان یافته است که بتوان تأثیرات این تغییرات را در خروجی مدل پیش‌بینی نمود [۱۱]. در مدل بهینه سازی توپولوژی براساس قابلیت اعتماد، متغیرهای پیشنهادی ممکن است نقش مهمی را در تابع شاخص قابلیت اعتماد ایفا کنند، اما این متغیرها لزوماً نقش مشابهی را در تابع هدف ایفا نمی‌کنند. بنابراین باید حساسیت تابع هدف، با توجه به متغیرهای انتخاب شده بررسی شود [۵]. با انجام تحلیل حساسیت می‌توان پارامترهایی را که تابع هدف نسبت به آنها مقدار حساسیت کمتری دارد، را به عنوان پارامتر تصادفی در نظر نگرفت و فقط از مقدار میانگین آنها در ادامه روند محاسبات استفاده نمود.

### ۳-۲- محاسبه شاخص قابلیت اعتماد

استفاده از الگوریتم قابلیت اعتماد مرتبه اول، معمولاً برای توابع حالت حدی که در نزدیکی نقطه‌ی طراحی خطی می‌باشند، روشی مناسب است. زمانی که سطح شکست داری انحنای بزرگی باشد، استفاده از الگوریتم قابلیت اعتماد مرتبه اول در جهت برآورد شاخص ایمنی موثر و دقیق نمی‌باشد، لذا در این مورد استفاده از روش مرتبه دوم پیشنهاد شده است. جهت تحلیل قابلیت اعتماد در این مقاله از هر دو روش قابلیت اعتماد مرتبه اول و دوم استفاده می‌گردد، بنابراین ابتدا باید شاخص قابلیت اعتماد از روش مرتبه اول محاسبه شود و پس از آن، با استفاده از  $\beta_{FORM}$  و بردار نرمال استخراج شده از آن، شاخص قابلیت اعتماد مرتبه دوم ( $\beta_{SORM}$ ) را محاسبه نمود.

براساس روش تقریبی مرتبه اول، شاخص قابلیت اعتماد  $\beta_{FORM}$  با تبدیل به یک مسئله بهینه سازی به صورت زیر انجام می‌شود:

$$\beta_{(u)} = \min d(u) = \sqrt{\sum u_j^2} \quad \text{Subject to} \quad \beta_{(u)} \geq \beta_t \quad (7)$$

به منظور حل معادله (7)، از روشی مبتنی بر گرادیان استفاده می‌شود. اگر از  $(u)$   $\beta$  نسبت به مؤلفه‌های بردار نرمال مشتق گرفته شود، رابطه زیر به دست می‌آید [۱۲]:

$$\frac{\partial \beta}{\partial u_j} = \frac{1}{2} (\sum u_j^2)^{-0.5} \cdot 2u_j = \frac{u_j}{\beta} = \frac{u_j}{d(u)} \quad (8)$$

بنابراین در طول فرآیند بهینه سازی می توان به طور تحلیلی مشتق فاصله  $d$  نسبت به  $u_j$  را به وسیله رابطه زیر محاسبه نمود:

$$\frac{\partial d}{\partial u_j} = \frac{u_j}{d(u)} \quad (9)$$

روش محاسبه  $\beta_{FORM}$  به این صورت است که ابتدا یک بردار نرمال اولیه، با توجه به یکسان بودن علامت  $z_i$  با گرادیان مربوطه  $\partial C / \partial m_{y_j}$  معرفی می شود [۵]. سپس با استفاده از رابطه (۷) مقدار  $d = \beta(u)$  مربوط به این بردار نرمال، محاسبه می شود و این مقدار با شخص قابلیت اعتماد هدف مقایسه می گردد. اگر اختلاف موجود بزرگتر از یک مقدار معین در نظر گرفته شده (مثلًا ۰,۰۰۱ در اینجا) بود، بردار نرمال  $U$  باید بروز رسانی گردد. این چرخه تا زمانی که اختلاف شاخص قابلیت اعتماد محاسباتی و شاخص قابلیت اعتماد هدف کمتر از مقدار تعیین شده شود، ادامه می یابد. بروز رسانی بردار نرمال  $U$  در هر چرخه، با استفاده از مشتق به دست آمده از رابطه (۹)، که در هر چرخه محاسبه می گردد، به صورت رابطه ۱۰ انجام می شود:

$$U_{k+1} = U_k + \alpha \frac{\partial d}{\partial u_j} \quad (10)$$

در رابطه فوق  $U$  بردار نرمال،  $k$  شماره تکرار،  $\alpha$  طول گام،  $d$  فاصله تابع حالت حدی از مبدأ می باشد. در نهایت پس از به دست آمدن شاخص قابلیت اعتماد قابل قبول  $\beta_{FORM}$ ، از بردار نرمال حاصل از آن ( $U_{FORM}$ )، به منظور ارزیابی بردار متغیرهای تصادفی  $y$ ، با استفاده از رابطه (۴) استفاده می شود. پس از محاسبه  $y$ ، این بردار به عنوان ورودی در مسئله بهینه سازی توبولوژی قطعی استفاده می گردد.

اما در صورت استفاده از روش قابلیت اعتماد مرتبه دوم، پس از همگرایی، شاخص قابلیت اعتماد مرتبه اول محاسبه شده به همراه بردار نرمال استخراج شده از آن، به عنوان پارامترهای ورودی در فرآیند محاسبه شاخص قابلیت اعتماد مرتبه دوم که به مراتب دقیقتر از مرتبه اول است، استفاده می شوند. در این روش، ابتدا مشتق اول و دوم تابع حالت حدی نسبت به تک تک مؤلفه های بردار نرمال به دست آمده از روش قابلیت اعتماد مرتبه اول که با  $U^*$  نمایش داده می شود، در نقطه طراحی به دست آمده از روش قابلیت اعتماد مرتبه اول، محاسبه می شود. با توجه به آن که تابع حالت حدی در نظر گرفته شده در این پژوهش، اختلاف بین جابجایی مجاز و جابجایی حداکثر به دست آمده از روش اجزای محدود می باشد، بنابراین تابع صریحی برای محاسبه مشتق وجود ندارد و باید از مشتق عددی استفاده نمود. رابطه زیر مشتق گیری عددی با استفاده از قاعده ریچاردسون، که به منظور بالا بردن دقت فرآیند مشتق گیری، از پنج نقطه استفاده می نماید را ارائه می دهد:

$$\frac{\partial g}{\partial y_j} = \frac{-g(y_j+2h)+8g(y_j+h)-8g(y_j-h)+g(y_j-2h)}{12h} \quad (11)$$

$$\frac{\partial^2 g}{\partial y_j^2} = \frac{g(y_j+h)-2g(y_j)+g(y_j-h)}{h^2} \quad (12)$$

که در روابط بالا  $h$  مقدار تغییر متغیر،  $g$  تابع حالت حدی و  $z_i$  متغیر تصادفی زام می باشد. با استفاده از روابط بالا، مشتق اول و دوم تابع حالت حدی نسبت به هر یک از پارامترهای تصادفی در نقطه طراحی به دست آمده از روش قابلیت اعتماد مرتبه اول، محاسبه می گردد.اما در روش قابلیت اعتماد مرتبه دوم، مشتق تابع حالت حدی نسبت به تک تک مقادیر بردار نرمال متغیرهای تصادفی مورد نیاز است. با استفاده از قاعده زنجیرهای مشتقها که به صورت

$$\frac{\partial g}{\partial u} = \frac{\partial g}{\partial y} \frac{\partial y}{\partial u} \quad (13)$$

می باشد و رابطه (۴)، داریم:

$$u_j = \frac{y_j - m_{y_j}}{\sigma_{y_j}} \Rightarrow y_j = \sigma_{y_j} u_j + m_{y_j} \rightarrow \frac{\partial y_j}{\partial u_j} = \sigma_{y_j} \quad (14)$$

بنابراین، مشتق اول و دوم تابع حالت حدی نسبت به هر یک از مقادیر بردار نرمال متغیرهای تصادفی در نقطه طراحی به دست آمده از روش قابلیت اعتماد مرتبه اول، به صورت زیر به دست می آید:

$$\frac{\partial g}{\partial u_j} = \frac{\partial g}{\partial y_j} \times \sigma_{y_j} \quad (15)$$

$$\frac{\partial^2 g}{\partial u_j^2} = \frac{\partial^2 g}{\partial y_j^2} \times (\sigma_{y_j})^2 \quad (16)$$

که  $y_j$ ، ز امین متغیر تصادفی با مقدار میانگین  $m_{y_j}$  و انحراف استاندارد  $\sigma_{y_j}$  و  $g$  تابع حالت حدی می‌باشد.

در گام بعدی،  $\alpha$  بردار حساسیت تابع حالت حدی در نقطه طراحی به دست آمده از روش قابلیت اعتماد مرتبه اول و ماتریس هسین  $H$  به صورت زیر محاسبه می‌شود:

$$\alpha = \frac{\nabla g(U^*)}{|\nabla g(U^*)|} \quad (17)$$

$$H = \frac{\nabla^2 g(U^*)}{|\nabla g(U^*)|} \quad (18)$$

که در آن:

$$\nabla g(U^*) = \begin{bmatrix} \frac{\partial g}{\partial u_1} & \frac{\partial g}{\partial u_2} & \dots & \frac{\partial g}{\partial u_j} \end{bmatrix}^t \quad (19)$$

$$|\nabla g(U^*)| = \sqrt{(\frac{\partial g}{\partial u_1})^2 + (\frac{\partial g}{\partial u_2})^2 + \dots + (\frac{\partial g}{\partial u_j})^2} \quad (20)$$

$$\nabla^2 g(U^*) = \begin{bmatrix} \frac{\partial^2 g}{\partial u_1^2} & \frac{\partial^2 g}{\partial u_1 \partial u_2} & \dots & \frac{\partial^2 g}{\partial u_1 \partial u_j} \\ \vdots & \ddots & & \vdots \\ \cdot & \cdot & \cdot & \cdot \\ \text{Sym} & \dots & & \frac{\partial^2 g}{\partial u_j^2} \end{bmatrix} \quad (21)$$

در روابط بالا  $\nabla g(U^*)$  بردارگرادیان، متشکل از مشتقهای مرتبه اول تابع حالت حدی نسبت به بردار نرمال و  $|\nabla g(U^*)|$  مقدار این بردار می‌باشد.  $\nabla^2 g(U^*)$  یک ماتریس متقارن متشکل از مشتقهای مرتبه دوم تابع حالت حدی نسبت به بردار نرمال در نقطه طراحی می‌باشد. ز نیز تعداد متغیرهای تصادفی نرمال می‌باشد.

در این پژوهش برای محاسبه شاخص قابلیت اعتماد مرتبه دوم از رابطه زیر استفاده می‌گردد [۱۳]:

$$\begin{aligned} \beta_{SORM} &= \left(1 - \frac{k_s}{3\beta_{FORM} + 3(n-1)/k_s + 1}\right) \beta_{FORM} + \frac{1}{2}k_s & k_s \geq 0 \\ \beta_{SORM} &= \left(1 - \frac{k_s^2}{3(n-\beta_{FORM}+3)}\right) \beta_{FORM} + \frac{1}{2}k_s & k_s < 0 \\ k_s &= \sum_{i=1}^n h_{ii} - \alpha^T H \alpha \end{aligned} \quad (22)$$

که در آن  $n$  تعداد پارامترهای تصادفی نرمال،  $h_{ii}$  درایه‌های روی قطر اصلی ماتریس هسین و  $\alpha$  بردار حساسیت مطابق رابطه (۱۷) می‌باشد. سپس بردار نرمال متغیرهای تصادفی مربوط به تحلیل قابلیت اعتماد مرتبه دوم ( $U_{SORM}$ ) به صورت زیر محاسبه می‌گردد:

$$U_{SORM} = \alpha \times \beta_{SORM} \quad (23)$$

که  $\alpha$  بردار حساسیت و  $\beta_{SORM}$  شاخص قابلیت اعتماد مرتبه دوم می‌باشد.

به منظور ارزایی قید شاخص قابلیت اعتماد در فرآیند بهینه سازی توبیولوژی براساس قابلیت اعتماد، همانند روش FORM از روش مبتنی بر گرادیان استفاده می‌گردد. یعنی با استفاده از بردار نرمال  $U_{SORM}$  به دست آمده و روابط (۹) و (۱۰)، تا زمان ارزایی قید شاخص قابلیت اعتماد، چرخه‌ای تشکیل می‌گردد که در هر چرخه بردار نرمال  $U_{SORM}$  و شاخص قابلیت اعتماد  $\beta_{SORM}$  جدیدی تولید می‌شود. در نهایت پس از به دست آمدن شاخص قابلیت اعتماد قابل قبول  $\beta_{SORM}$ ، از بردار نرمال حاصل از آن ( $U_{SORM}$ )، به منظور ارزیابی بردار متغیرهای

تصادفی  $y$ , با استفاده از رابطه (۴) استفاده می‌شود. پس از محاسبه  $y$ , از این بردار به عنوان ورودی در مسئله‌ی بهینه سازی توپولوژی قطعی استفاده می‌شود.

### ۳-۳-۳- فرآیند بهینه سازی توپولوژی

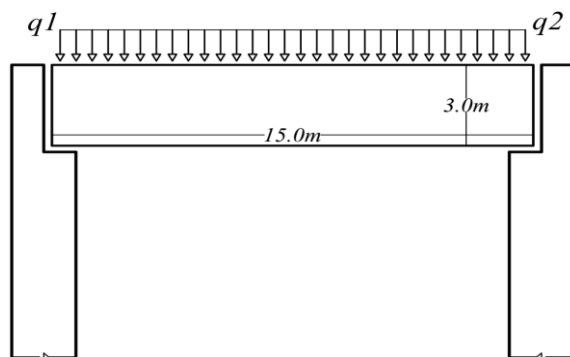
پس از برآورده شدن قیود قابلیت اعتماد و مشخص کردن بردار متغیرهای تصادفی  $y$ , فرآیند بهینه سازی توپولوژی با یک مجموعه جدید از مقادیر تصادفی فراخوانده می‌شود. بنابراین نتایج توپولوژی بهینه اصولاً به مقدار شاخص قابلیت اعتماد بستگی دارد [۵]. روش بهینه سازی استفاده شده برای بروز کردن متغیر طراحی  $x$ , روش معیار بهینگی می‌باشد. در ادامه با توجه به فرآیند شرح داده شده، بهینه سازی توپولوژی براساس قابلیت اعتماد در دو سازه پل مورد بررسی قرار می‌گیرد.

## ۴- مثال‌های نمونه

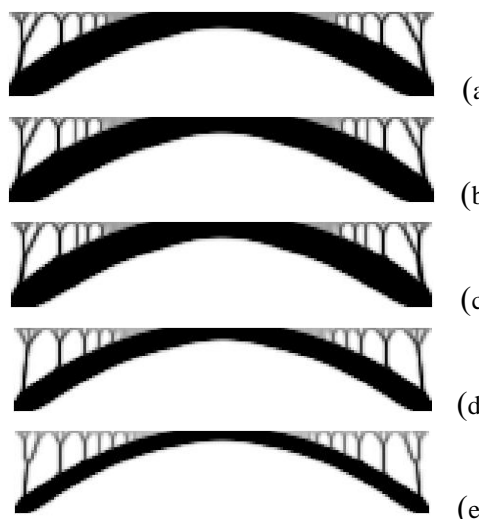
در این مثال‌ها از روش بهینه سازی SIMP با هدف کمینه سازی نرمی برای بهینه سازی توپولوژی و از روش قابلیت اعتماد مرتبه اول و دوم به منظور تحلیل قابلیت اعتماد استفاده می‌شود، به نحوی که ابتدا توپولوژی بهینه براساس قابلیت اعتماد برای عرشه یک پل سواره رو و پس از آن برای یک پل عابر اعمال گردیده وسپس نتایج مورد تحلیل و بررسی می‌گردد.

### ۴-۱- پل سواره رو

مطابق شکل ۲، عرشه پل سواره رو با ارتفاع ۳ متر که دهانه ای به طول ۱۵ متر را پوشش می‌دهد، بر روی کوله‌ها قرار گرفته است. سازه پل تحت بار گستردگی  $q=15 \text{ KN/m}^2$  قرار گرفته است. با توجه به اینکه در روی پل، بار واردہ در ابتدا و انتهای پل ممکن است در هر لحظه یکسان نباشد، در این مثال هر کدام از بارهای ابتدا و انتهای پل ( $q_1$  و  $q_2$ ) به طور مستقل به عنوان پارامترهای تصادفی انتخاب شده‌اند که برای یک متر عرض پل  $KN/m = q_1 = q_2 = 15$  می‌باشد. ناحیه‌ی طراحی به ۴۵۰۰ المان چهارضلعی مربعی تنش مسطح گستته‌سازی شده است. مدول یانگ  $E=207 \text{ GPa}$  و ضریب پواسون  $\nu=0.3$  در نظر گرفته شده‌اند و تنها استفاده از ۴۰ درصد مصالح مجاز خواهد بود. علاوه بر بارگذاری، پارامترهای کسر حجم و مدول یانگ نیز به عنوان متغیرهای تصادفی در نظر گرفته می‌شوند تا تأثیر تعداد پارامترهای عدم قطعیت بر روی توپولوژی بهینه نیز بررسی گردد. پارامترهای عدم قطعیت با داشتن توزیع نرمال، با ۱۰ درصد واریانس از مقدار متوسط در نظر گرفته شده‌اند. همچنین جابجایی مجاز برای تابع حالت حدی برابر  $0.85 \text{ m}$ , ضخامت  $0.1 \text{ m}$  و شعاع فیلتر برابر  $12 \text{ m}$  متر فرض می‌شود. توپولوژی‌های بهینه در شکل ۳ نمایش داده شده و نتایج در جدول ۱ ارائه شده‌اند.



شکل ۲: ناحیه طراحی و بارگذاری مثال ۴-۱؛ عرشه پل سواره رو



شکل ۳: نتایج توبولوژی بهینه عرضه پل سواره رو؛ شکل a: نتیجه FORM با عدم قطعیت بارگذاری، شکل b: نتیجه DTO با عدم قطعیت بارگذاری، شکل c: نتیجه SORM با عدم قطعیت بارگذاری، مدول یانگ و کسر حجم، شکل d: نتیجه FORM با عدم قطعیت های بارگذاری، مدول یانگ و کسر حجم، شکل e: نتیجه SORM با عدم قطعیت های بارگذاری، مدول یانگ و کسر حجم.

جدول ۱: نتایج مثال ۱-۴

|       | DTO        | با عدم قطعیت FORM |                   | با عدم قطعیت SORM |                   | با عدم قطعیت های FORM |                     | با عدم قطعیت های SORM |                     |
|-------|------------|-------------------|-------------------|-------------------|-------------------|-----------------------|---------------------|-----------------------|---------------------|
|       |            | $q_1, q_2$        | $E, f$            | $q_1, q_2$        | $E, f$            | $q_1, q_2, E, f$      | $q_1, q_2, E, f$    | $q_1, q_2, E, f$      | $q_1, q_2, E, f$    |
| ورودی | L          | 15                | 15                | 15                | 15                | 15                    | 15                  | 15                    | 15                  |
|       | H          | 3                 | 3                 | 3                 | 3                 | 3                     | 3                   | 3                     | 3                   |
|       | T          | .1                | .1                | .1                | .1                | .1                    | .1                  | .1                    | .1                  |
|       | E          | $207 \times 10^9$ | $207 \times 10^9$ | $207 \times 10^9$ | $207 \times 10^9$ | $165,6 \times 10^9$   | $180,2 \times 10^9$ | $180,2 \times 10^9$   | $180,2 \times 10^9$ |
|       | $q_1$      | 15000             | 19243             | 19243             | 19243             | 18000                 | 15648               | 15648                 | 15648               |
|       | $q_2$      | 15000             | 19243             | 19243             | 19243             | 18000                 | 15648               | 15648                 | 15648               |
|       | f          | .40               | .40               | .40               | .40               | .32                   | .245                | .245                  | .245                |
| نتایج | $U_E$      | -                 | -                 | -                 | -                 | -2,00                 | -1,295              | -1,295                | -1,295              |
|       | $U_{q_1}$  | -                 | 2,8287            | 2,8287            | 2,8287            | 2,00                  | 0,4317              | 0,4317                | 0,4317              |
|       | $U_{q_2}$  | -                 | 2,8287            | 2,8287            | 2,8287            | 2,00                  | 0,4317              | 0,4317                | 0,4317              |
|       | $U_f$      | -                 | -                 | -                 | -                 | -2,00                 | -3,8851             | -3,8851               | -3,8851             |
|       | Beta       | -                 | 4,0005            | 4,0005            | 4,0005            | 4,0000                | 4,0008              | 4,0008                | 4,0008              |
|       | Volume     | 1,80              | 1,80              | 1,80              | 1,80              | 1,44                  | 1,10                | 1,10                  | 1,10                |
|       | Compliance | $297840,3$ ,<br>7 | 4912534,7         | 4912534,7         | 4912534,7         | 6390034,0             | 5759637,9           | 5759637,9             | 5759637,9           |
|       | Iteration  | 108               | 86                | 86                | 86                | 50                    | 145                 | 145                   | 145                 |
|       | Time (s)   | 304,11            | 240,86            | 375,10            | 206,51            | 807,82                | 807,82              | 807,82                | 807,82              |

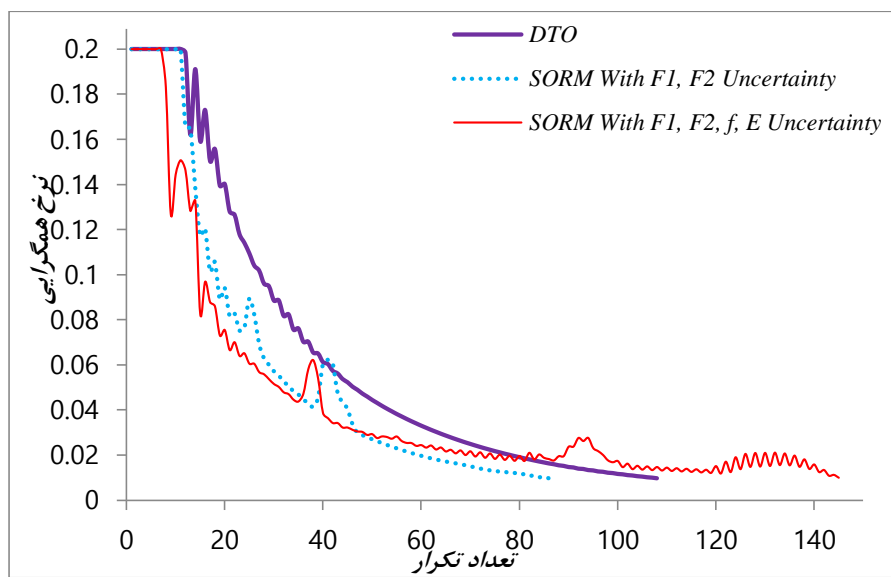
تمامی واحدهای به کار رفته در جدول بر حسب نیوتون، متر و ثانیه هستند.

با توجه به جدول ۱، در حالتی که فقط بارگذاری به عنوان پارامتر تصادفی در نظر گرفته شده است، در هر دو روش مرتبه اول و دوم، نتایج بردار نرمال متغیرهای تصادفی و به تبع آن، بردار متغیرهای تصادفی یکسان شده است و بنابراین مقادیر نرمی، حجم و تعداد تکرار نیز با یکدیگر برابر می‌باشند. اما زمان محاسبات در روش مرتبه دوم بیشتر از روش مرتبه اول می‌باشد.

همان طور که مشاهده می‌گردد توپولوژی‌های به دست آمده براساس قابلیت اعتماد و نتایج مقادیر نرمی آنها از توپولوژی‌های به دست آمده قطعی متفاوت هستند؛ بدین صورت که مقادیر نرمی به دست آمده از هر دو روش قابلیت اعتماد مرتبه اول و دوم، از روش بهینه سازی توپولوژی قطعی بزرگتر می‌باشند. بنابراین می‌توان نتیجه گرفت که هر دو روش قابلیت اعتماد مرتبه اول و دوم، نسبت به بهینه سازی توپولوژی قطعی، سازه‌های قابل اعتمادتر اما با مقدار نرمی بیشتر را نتیجه می‌دهند. به علاوه، در هر دو روش قابلیت اعتماد مرتبه اول و دوم، با افزایش تعداد پارامترهای عدم قطعیت نرمی نیز افزایش می‌یابد.

به غیر از موارد خاص، در بیشتر موارد، بردار نرمال به دست آمده از روش‌های قابلیت اعتماد مرتبه اول و مرتبه دوم با یکدیگر متفاوتند. این اختلاف ناشی از آن است که در روش قابلیت اعتماد مرتبه اول، تابع حالت حدی به صورت یک خط تقریب زده شده و کمترین فاصله مبدأ از آن به عنوان شاخص قابلیت اعتماد شناخته می‌شود؛ اما در روش قابلیت اعتماد مرتبه دوم، تابع حالت حدی به صورت یک منحنی تقریب زده شده و به طور معمول نقطه‌ای از منحنی که دارای کمترین فاصله از مبدأ باشد، دارای مختصات متفاوتی نسبت به روش قابلیت اعتماد مرتبه اول می‌باشد. با توجه به منحنی بودن تابع حالت حدی در روش قابلیت اعتماد مرتبه دوم، به طور حتم تحلیل قابلیت اعتماد از این روش بسیار دقیق‌تر و معتبرتر می‌باشد و به تبع آن نتایج بهینه سازی نیز به نسبت دقیق‌تر و با عدم قطعیت موجود سازگارتر می‌باشند [۱۶].

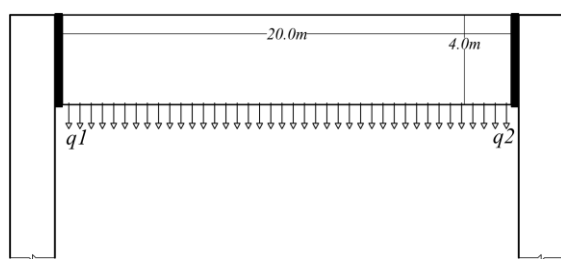
در ضمن، از نتایج توپولوژی‌های ارائه شده در شکل ۳، می‌توان در مراحل اولیه طراحی پل در جهت شناخت فرم کلی سازه بهره‌مند شد. در ادامه، در شکل ۴، نمودار نرخ همگرایی در تکرارهای مختلف برای روش قابلیت اعتماد مرتبه دوم و روش بهینه سازی توپولوژی قطعی ارائه گردیده است.



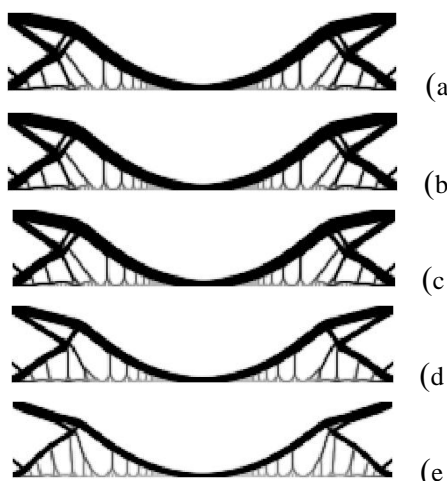
شکل ۴: نمودار نرخ همگرایی بر حسب تعداد تکرار در مثال عرضه پل سواره رو

## ۲-۴- پل عابر

در این بخش، مثال قسمت قبل برای یک پل عابر بررسی می‌شود. شکل ۵، ناحیه طراحی اولیه یک پل عابر به طول ۲۰ متر، عرض ۲ متر و ارتفاع ۴ متر را که به پایه‌های اطرافش متصل شده است، را نمایش می‌دهد. پل تحت بار گستردگی  $q=4 \text{ KN/m}^2$  قرار گرفته است که برای یک متر عرض پل  $q_1=q_2=4 \text{ KN/m}$  می‌باشد. ناحیه طراحی به ۸۰۰۰ المان چهارضلعی مربعی تنش مسطح گسته‌سازی شده است. تنها استفاده از ۳۰ درصد مصالح مجاز خواهد بود و جابجایی مجاز برای تابع حالت حدی برابر  $1.0 \text{ m}$  فرض می‌شود. سایر مشخصات این مثال همانند مثال پل سواره رو می‌باشد. توابع توپولوژی‌های بهینه در شکل ۶ نشان داده شده و نتایج در جدول ۲ ارائه شده‌اند.



شکل ۵: ناحیه طراحی و بارگذاری مثال ۲-۴؛ پل عابر



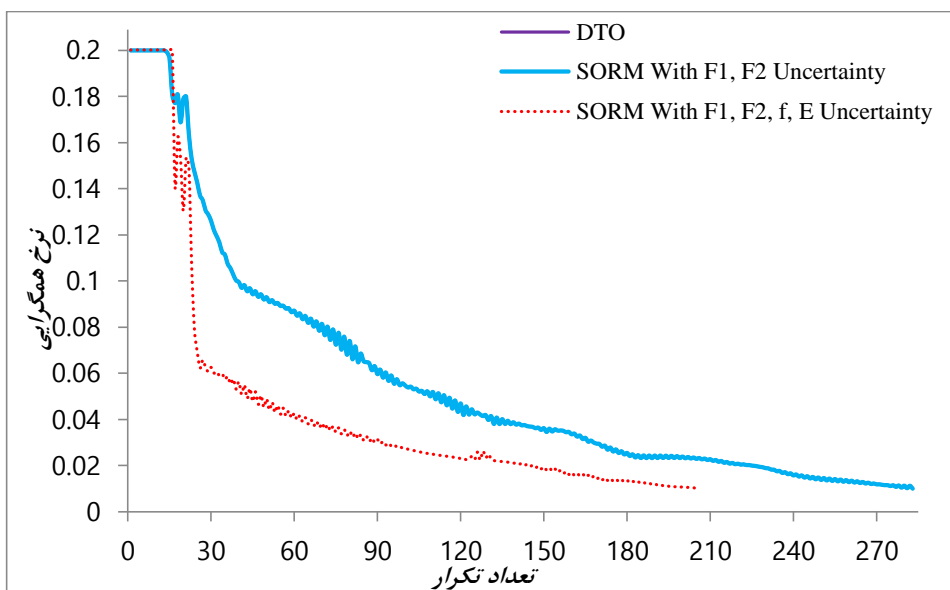
شکل ۶: نتایج توپولوژی بهینه پل عابر؛ شکل a: نتیجه FORM با عدم قطعیت بارگذاری، شکل b: نتیجه SORM با عدم قطعیت بارگذاری، شکل c: نتیجه DTO با عدم قطعیت بارگذاری، شکل d: نتیجه FORM با عدم قطعیت های بارگذاری، مدول یانگ و کسر حجم، شکل e: نتیجه SORM با عدم قطعیت های بارگذاری، مدول یانگ و کسر حجم.

جدول ۲: نتایج مثال ۲-۴

|       | DTO        | FORM با عدم قطعیت های $q_1, q_2$ | -SORM با عدم قطعیت های $q_1, q_2$ | FORM با عدم قطعیت های $q_1, q_2, E, f$ | SORM با عدم قطعیت های $q_1, q_2, E, f$ |
|-------|------------|----------------------------------|-----------------------------------|--|--|
| ورودی | L          | ۲۰                               | ۲۰                                | ۲۰                                     | ۲۰                                     |
|       | H          | ۴                                | ۴                                 | ۴                                      | ۴                                      |
|       | T          | ۰,۱                              | ۰,۱                               | ۰,۱                                    | ۰,۱                                    |
|       | E          | $۲۰۷*10^9$                       | $۲۰۷*10^9$                        | $۲۰۷*10^9$                             | $۱۸۲,۲*10^9$                           |
|       | $q_1$      | ۴۰۰۰                             | ۵۱۳۱,۵                            | ۵۱۳۱,۵                                 | ۴۱۷۲,۷                                 |
|       | $q_2$      | ۴۰۰۰                             | ۵۱۳۱,۵                            | ۵۱۳۱,۵                                 | ۴۱۷۲,۷                                 |
|       | f          | ۰,۳۰۰                            | ۰,۳۰۰                             | ۰,۳۰۰                                  | ۰,۱۸۳                                  |
|       | $U_E$      | -                                | -                                 | -۲,۰۰۰                                 | -۱,۲۹۵                                 |
| نتایج | $U_{q_1}$  | -                                | ۲,۸۲۸۷                            | ۲,۸۲۸۷                                 | ۰,۴۳۱۷                                 |
|       | $U_{q_2}$  | -                                | ۲,۸۲۸۷                            | ۲,۸۲۸۷                                 | ۰,۴۳۱۷                                 |
|       | $U_f$      | -                                | -                                 | -۲,۰۰۰                                 | -۳,۸۸۵۱                                |
|       | Beta       | -                                | ۴,۰۰۰۵                            | ۴,۰۰۰۵                                 | ۴,۰۰۰۸                                 |
|       | Volume     | ۲,۴۰                             | ۲,۴۰                              | ۱,۹۲                                   | ۱,۴۷                                   |
|       | Compliance | ۵۴۶۱۱۴,<br>۵                     | ۸۹۸۷۷۷,۶                          | ۸۹۸۷۷۷,۶                               | ۱۳۱۴۹۴۸,۲                              |
|       | Iteration  | ۲۸۳                              | ۲۸۳                               | ۴۱۳                                    | ۲۰۵                                    |
|       | Time (s)   | ۱۹۸۴,۸۰                          | ۲۰۶۴,۱۹                           | ۲۷۹۰,۴۳                                | ۲۴۸۸,۳۳                                |

تمامی واحدهای به کار رفته در جدول بر حسب نیوتون، متر و ثانیه هستند.

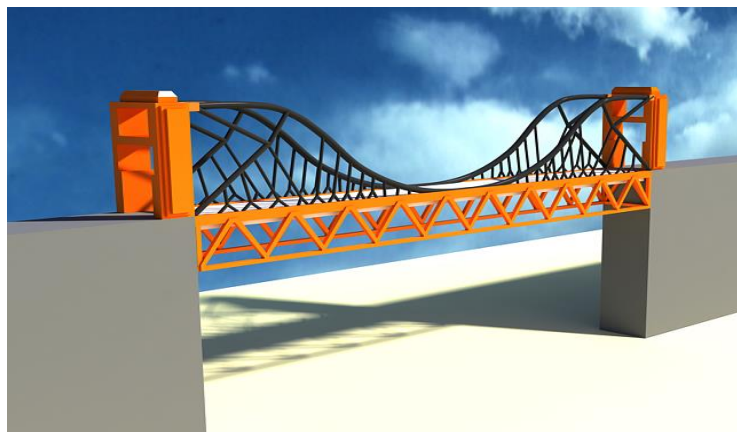
با توجه به جدول ۲، تمامی نتایج مثال عرضه پل سواره رو در این مثال نیز صادق است. می توان مشاهده کرد که تعداد تکرارها در بهینه سازی توپولوژی قطعی با حالت هایی که فقط بارگذاری به عنوان پارامتر تصادفی در نظر گرفته شده است، یکسان است، اما زمان محاسبات در روش قابلیت اعتماد مرتبه دوم از همه بیشتر و در بهینه سازی توپولوژی قطعی از بقیه کمتر می باشد.



شکل ۷: نمودار نرخ همگرایی بر حسب تعداد تکرار در مثال پل عابر

با توجه به شکل ۷ که نمودار نرخ همگرایی در تکرارهای مختلف را نشان می دهد، منحنی مربوط به بهینه سازی توپولوژی قطعی و روش قابلیت اعتماد مرتبه دوم (و همچنین روش قابلیت اعتماد مرتبه اول) برای حالتی که فقط بارگذاری به عنوان متغیر تصادفی انتخاب شده است، کاملاً بر هم منطبق اند؛ این در حالیست که در مثال پل سواره رو این طور نبود. علت این اختلاف را می توان به شرایط مرزی متفاوت نسبت داد، یعنی می توان ثابت کرد که در حالت تیر دو سر گیردار تحت بار گسترده (مانند پل عابر)، با تغییر در مقدار بارگذاری نرخ همگرایی و تعداد تکرار بهینه سازی ثابت می ماند.

از نتایج توپولوژی این مثال در شکل ۶ نیز می توان در طراحی پل عابر، در مراحل اولیه طراحی بهره مند شد. مثلاً به این نکته بی برد که در طراحی پل عابر می توان از کابل های پر مقاومت استفاده نمود؛ بدین صورت که در دو سمت عرض پل، کابل هایی به صورت نمایش داده شده در شکل ۶ طراحی شود؛ شکل ۸ می تواند نمایش شماتیکی از این پل باشد. بنابراین از بهینه سازی توپولوژی سازه ها براساس قابلیت اعتماد، می توان در فاز اولیه طراحی سازه ها برای یافتن فرم بهینه سازه که به طرحی با قابلیت اعتماد مناسب منجر شود استفاده نمود.



شکل ۸ : نمایش شماتیک پل عابر طراحی شده از توپولوژی براساس قابلیت اعتماد [۱۴].

## ۵- نتیجه گیری

در این پژوهش، بهینه سازی توپولوژی براساس قابلیت اعتماد در سازه پل با هدف کمینه سازی نرمی انجام گرفت و مشخص شد که مقادیر نرمی به دست آمده از هر دو روش قابلیت اعتماد مرتبه اول و دوم، از روش بهینه سازی توپولوژی قطعی بزرگتر می باشند. به عبارت دیگر، بهینه سازی توپولوژی براساس قابلیت اعتماد نسبت به بهینه سازی توپولوژی قطعی، سازه های قابل اعتمادتر اما با مقدار نرمی بیشتر نتیجه می دهند. در ضمن، پس از تغییر در تعداد پارامترهای تصادفی مشخص شد که در هر دو روش قابلیت اعتماد مرتبه اول و دوم، با افزایش تعداد پارامترهای عدم قطعیت نرمی افزایش می یابد.

با بررسی های به عمل آمده مشخص شد که به طور معمول، بردار نرمال به دست آمده از روش های قابلیت اعتماد مرتبه اول و مرتبه دوم با یکدیگر متفاوتند. این اختلاف ناشی از آن است که در روش قابلیت اعتماد مرتبه اول، تابع حالت حدی به صورت یک خط تقریب زده شده اما در روش قابلیت اعتماد مرتبه دوم، تابع حالت حدی به دقت بیشتر به صورت یک منحنی تقریب زده می شود. با توجه به منحنی بودن تابع حالت حدی در روش قابلیت اعتماد مرتبه دوم، به طور حتم انجام تحلیل قابلیت اعتماد با این روش دقیق تر و معتبر تر می باشد و به تبع آن نتایج بهینه سازی نیز به نسبت دقیق تر می باشند. همچنین در حالتی که تعداد تکرار برابر اتفاق بیافتد، زمان محاسبات در روش مرتبه دوم به دلیل محاسبه های شاخص قابلیت اعتماد مرتبه دوم، بیشتر می باشد و طبیعتاً این زمان در بهینه سازی توپولوژی قطعی از همه کمتر می باشد. طبق نتایج به دست آمده در حالت تیر دو سر گیردار تحت بار گسترده (مانند پل عابر)، با تغییر در مقدار بارگذاری، نرخ همگرایی و تعداد تکرار بهینه سازی ثابت می ماند، اما اگر شرایط تکیه گاهی تغییر نماید دیگر این نتیجه پابرجا نخواهد بود. ضمناً از شکل های

به دست آمده از توبولوژی‌های بهینه براساس قابلیت اعتماد می‌توان در مرحله‌ی اولیه طراحی سازه‌ها برای یافتن فرم کلی و قابل اعتماد سازه‌ها استفاده نمود.

## مراجع

- [1] Christensen, P. W. and Klarbring, A.; “*An introduction to structural optimization*”; 5<sup>nd</sup> edition, Springer. (2009)
- [2] حسنی، ب؛ و قاسم نژاد مقری، ح؛ « بهینه سازی توبولوژیک لایه تقویتی سازه‌های صفحه‌ای با استفاده از قید تنش»؛ هشتمین کنگره بین‌المللی مهندسی عمران، دانشگاه شیراز، شیراز، ایران، ۲۱-۲۲ اردیبهشت ۱۳۸۸
- [3] Bendsoe, M. P. and Sigmund, O.; “*Topology optimization: theory, methods and applications*”; 2<sup>nd</sup> edition, Springer, Berlin. (2002).
- [4] Nowak, A. S. and Collins, K. R.; “*Reliability of Structures*”; 2<sup>nd</sup> edition, Boston, McGraw-Hill. (2000).
- [5] Kharmanda, G., Olhoff, N., Mohamed, A. and Lemaire, M.; “Reliability-based topology optimization”; *Structural and Multidisciplinary Optimization*, 26 (5), (2004) 295-307.
- [6] Kim, C., Wang, S., Bae, K. R., Moon, H. and Choi, K. K.; “Reliability-based topology optimization with uncertainties”; *Journal of mechanical science and technology*, 20 (4), (2006) 494-504.
- [7] Jung, H. S., and Cho, S.; “Reliability-based topology optimization of geometrically nonlinear structures with loading and material uncertainties”; *Finite elements in analysis and design*, 41 (3), (2004) 311-331.
- [8] Kim, S. R., Park, J. Y., Lee, W. G., Yu, J. S. and Han, S. Y.; “Reliability-based topology optimization based on evolutionary structural optimization”; *International Journal of Mechanical, Aerospace, Industrial, Mechatronic and Manufacturing Engineering*, 1 (8), (2007) 135-139.
- [9] Yoo, K. S., Eom, Y. S., Park, J. Y., Im, M. G. and Han, S. Y.; “Reliability-based topology optimization using successive standard response surface method”; *Finite Elements in Analysis and Design*, 47 (7), (2011) 843-849.
- [10] Luo, Y., Zhou, M., Yu Wang, M. and Deng, Z.; “Reliability based topology optimization for continuum structures with local failure constraints”; *Computers & Structures*, 143, (2014) 73-84.
- [11] Saltelli, A., Ratto, M., Andres, T., Campolongo, F., Cariboni, J., Gatelli, D., Saisana, M., and Tarantola, S.; “*Global sensitivity analysis: the primer*”; 1<sup>st</sup> edition, John Wiley & Sons. (2008).
- [12] Zhang, X., and Ouyang, G.; “A level set method for reliability-based topology optimization of compliant mechanisms”; *Science in China Series E: Technological Sciences*, 51(4), (2008) 443-455.
- [13] Zhao, Y. G., and Ono, T.; “New approximations for SORM: Part 1”; *Journal of engineering mechanics*, 125(1), (1999) 79-85.
- [14] Johari, M.; “*Reliability-based topology optimization of continuum structures under static loads*”; M. Eng. dissertation, Yazd University, Yazd, Iran. (2015).